

# Vorlesung - Angewandte Mathematik

## 9. Vorlesung

Holger Gerhards

DHBW Mannheim, TINF22IT1  
holger.gerhards@dhbw-mannheim.de

25. Oktober 2023

# Themenübersicht

- ▶ **Diskrete Fourier-Transformation**
- ▶ Kontinuierliche Fourier-Transformation
- ▶ Faltung
- ▶  $\delta$ -Distribution
- ▶ Anwendung der Fourier-Transformation
- ▶ Anmerkungen / Ergänzungen

# Diskrete Fourier-Transformation

- ▶ Problematik für tatsächlich gemessene Signale
  - ▶ Eingangsfunktion nicht kontinuierlich sondern diskret
  - ▶ Sampling des Signals
  - ▶ Darstellung als Paaren von Amplituden  $x_i$  zu Zeitpunkten  $t_i$ 
    - ▶  $x_0$  entspricht Messung bei  $t_0 = 0$
    - ▶  $x_1$  entspricht Messung bei  $t_1 = \Delta t$
    - ▶  $x_2$  entspricht Messung bei  $t_2 = 2 \Delta t$
    - ▶ ...
- ▶ Vereinfachungen:  $t \rightarrow n$  und  $T \rightarrow N$  (vorerst  $\Delta t = 1$ )
- ▶ Idee:

$$x_n = \frac{a_0}{2} + \sum_{k=1}^{N-1} a_k \cos(k\omega n) + \sum_{k=1}^{N-1} b_k \sin(k\omega n) \quad \text{mit} \quad \omega = \frac{2\pi}{N} \quad (1)$$

# Diskrete Fourier-Transformation

- Umformung mit komplexen Koeffizienten

$$Y_k \in \mathbb{C} \text{ bzw. } Y_k = a_k + \mathrm{i} b_k$$

$$x_n = \sum_{k=0}^{N-1} Y_k e^{-\mathrm{i}\omega nk} \quad (2)$$

- Plausibilisierung:

$$\begin{aligned} x_n &= \sum_{k=0}^{N-1} (a_k + \mathrm{i} b_k) e^{-\mathrm{i}\omega nk} \\ &= \sum_{k=0}^{N-1} (a_k + \mathrm{i} b_k) \left( \cos(\omega nk) - \mathrm{i} \sin(\omega nk) \right) \\ &= \sum_{k=0}^{N-1} a_k \cos(\omega nk) + \sum_{k=0}^{N-1} b_k \sin(\omega nk) + \mathrm{i} \sum_{k=0}^{N-1} \dots \quad (3) \end{aligned}$$

# Diskrete Fourier-Transformation

- ▶ Zentrale Gleichungen der diskreten Fourier-Transformation
  - ▶ Rücktransformation (vom Frequenzbereich in den Zeitbereich)

$$x_n = \sum_{k=0}^{N-1} Y_k e^{-i\omega nk} \quad (4)$$

- ▶ Hintransformation (vom Zeitbereich in den Frequenzbereich)

$$Y_k = \frac{1}{N} \sum_{n=0}^{N-1} x_n e^{i\omega nk} \quad (5)$$

- ▶ Hinweise
  - ▶  $Y_k$  ist die komplexe Amplitude zur  $k$ -ten Frequenz
  - ▶  $A_k = |Y_k|$  entspricht der tatsächlichen Amplitude, da  $Y_k = A_k e^{i\varphi_k}$
  - ▶  $\varphi_k$  entspricht der Phasenverschiebung der  $k$ -ten Frequenz

# Diskrete Fourier-Transformation

## Übergang zu physikalischen Größen

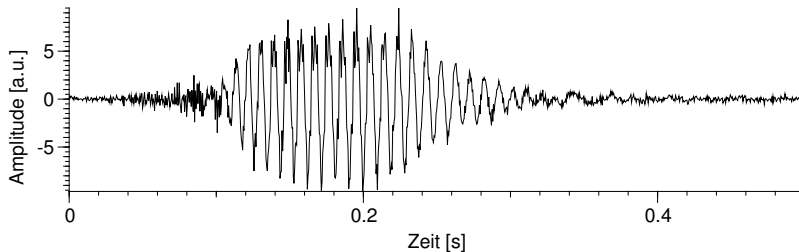
- ▶ Zeitbasis - Messamplitude  $x_n$  zum Zeitpunkt  $t_n = n\Delta t$
- ▶ Frequenzbasis - Komplexe Amplitude  $Y_k$  zu Frequenz  $\omega_k = 2\pi f_k$  mit

$$\omega_k = \frac{2\pi k}{N\Delta t} \quad \text{bzw.} \quad f_k = \frac{k}{N\Delta t} \quad \implies \quad \Delta f = \frac{1}{N\Delta t}$$

- ▶ Implikationen
  - ▶ maximale Frequenz von Zeitauflösung  $\Delta t$  abhängig
  - ▶ Zeitauflösung und Frequenzauflösung nicht beliebig wählbar
  - ▶ große Zeitfenster ( $N$  groß) bedeutet hohe Frequenzauflösung ( $\Delta f$  klein)

# Signalanalyse mittels Fourier-Transformation

## ► Beispielsignal

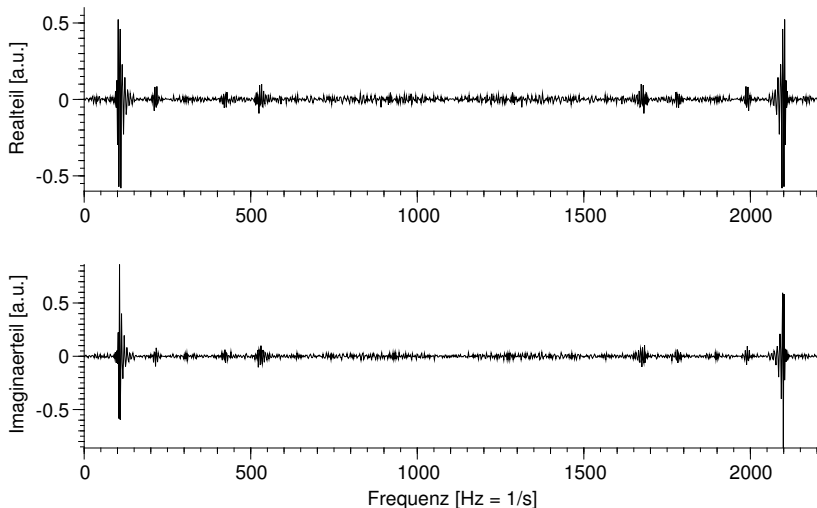


## ► Diskrete Fourier-Transformation

$$Y_k = \frac{1}{N} \sum_{n=0}^{N-1} x_n e^{i2\pi nk/N}$$

# Signalanalyse mittels Fourier-Transformation

## ► Diskrete Fourier-Transformation des Beispielsignal





# Signalanalyse mittels Fourier-Transformation

Darstellungsformen:

- Real- und Imaginärteil

$$Y_k = \Re(Y_k) + i \Im(Y_k)$$

- Betrag und Phase

$$Y_k = A_k e^{i\varphi_k}$$

mit

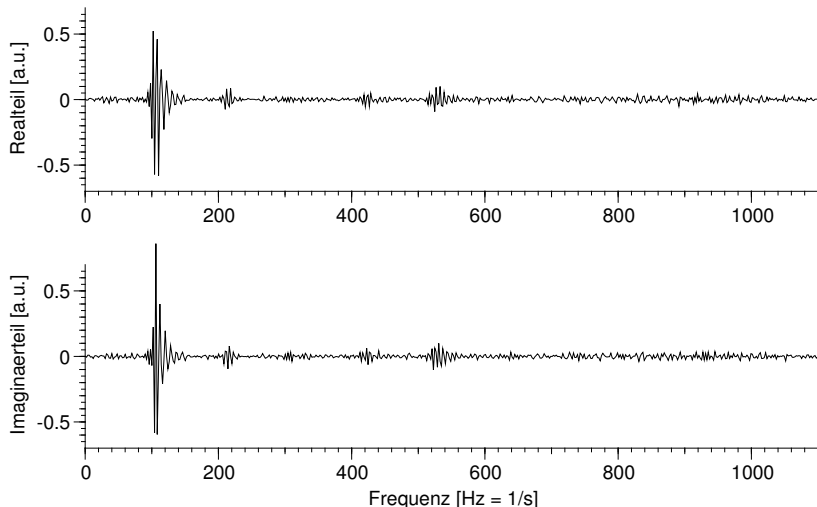
$$A_k = \sqrt{Y_k \bar{Y}_k}$$

und

$$\varphi_k = \arctan\left(\frac{\Im(Y_k)}{\Re(Y_k)}\right)$$

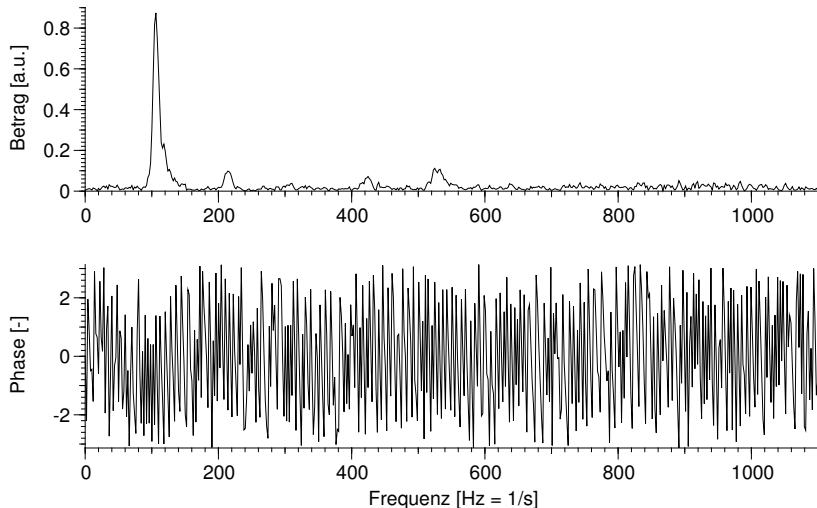
# Signalanalyse mittels Fourier-Transformation

- Darstellung bzgl. Real- und Imaginärteil  
(Betrachtung nur der Hälfte der Amplituden  $Y_k$ )



# Signalanalyse mittels Fourier-Transformation

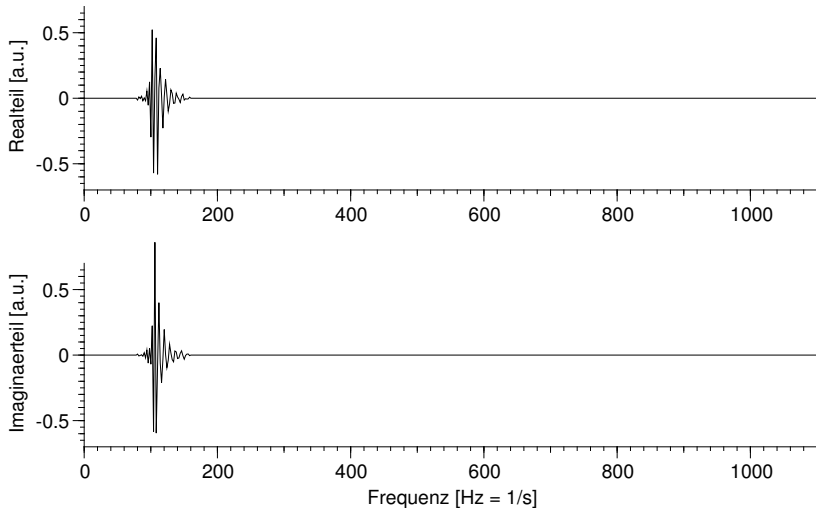
- Darstellung bzgl. Betrag und Phase



# Filtern eines Signals im Frequenzbereich

## Bandpass-Filter

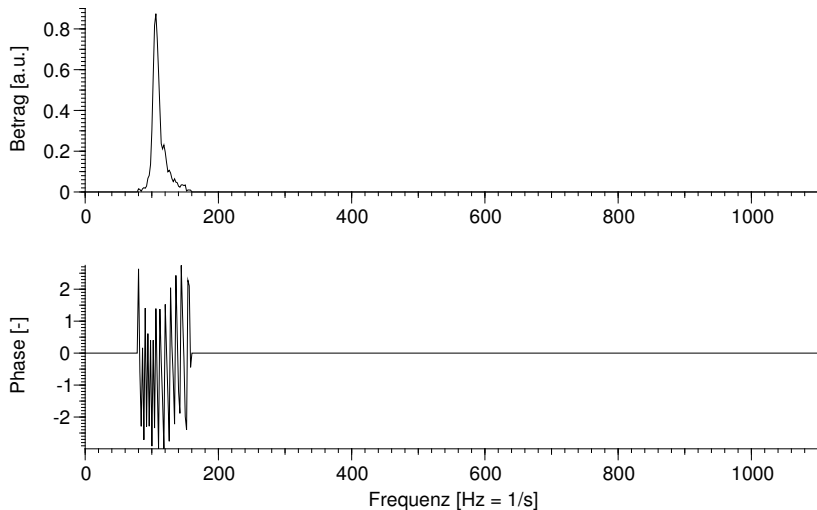
- Filterung des Real- und Imaginärteils



# Filtern eines Signals im Frequenzbereich

## Bandpass-Filter

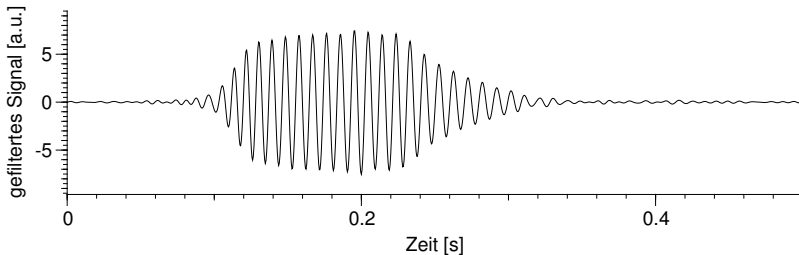
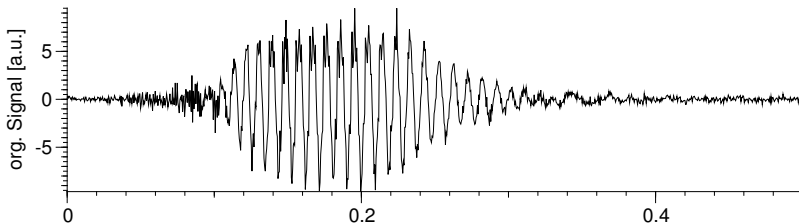
- Filterung des Betrages und der Phase



# Filtern eines Signals im Frequenzbereich

## Bandpass-Filter

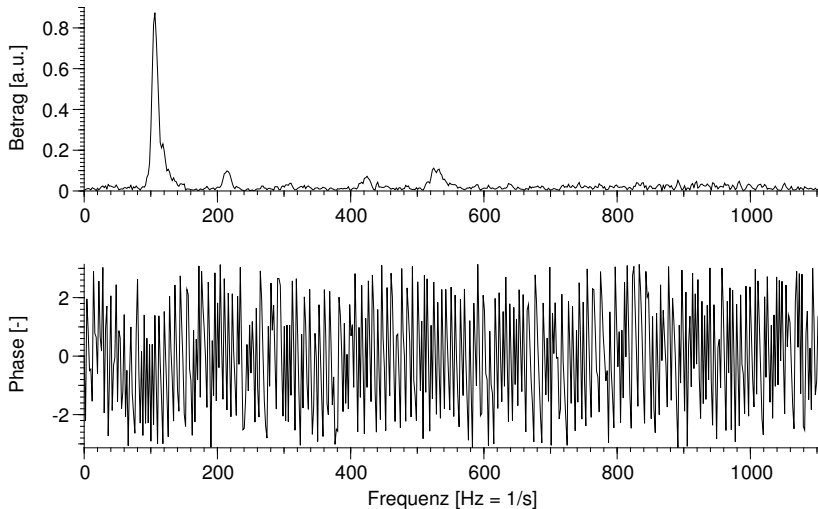
- ▶ Ergebnis des Filtern (Vorher - Nachher)



# Filtern eines Signals im Frequenzbereich

## Phasen-Filter

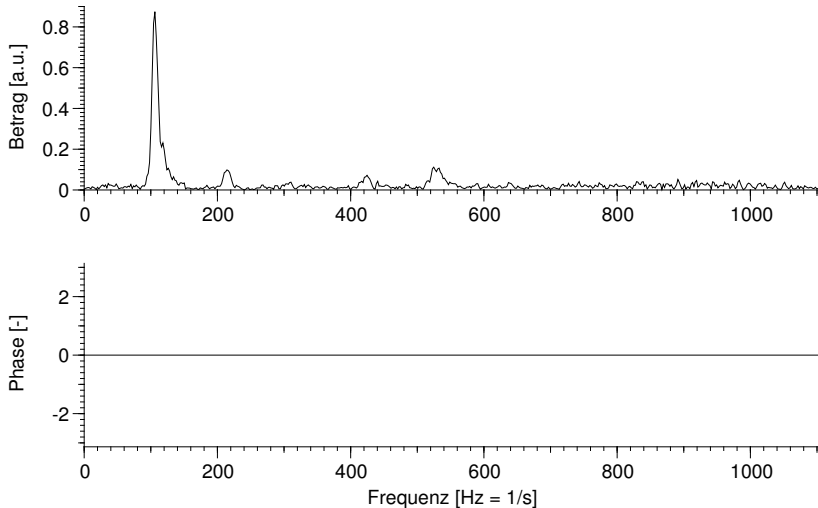
### ► Filterung der Phase - Vorher



# Filtern eines Signals im Frequenzbereich

## Phasen-Filter

### ► Filterung der Phase - Nachher

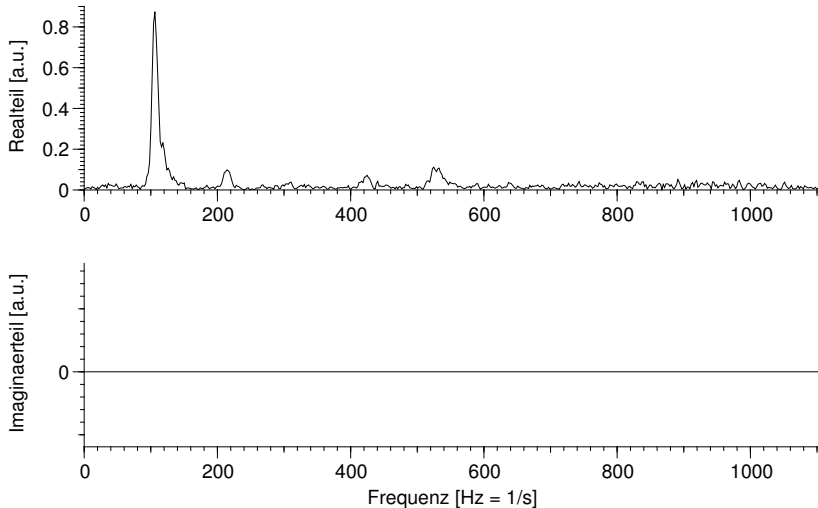




# Filtern eines Signals im Frequenzbereich

## Phasen-Filter

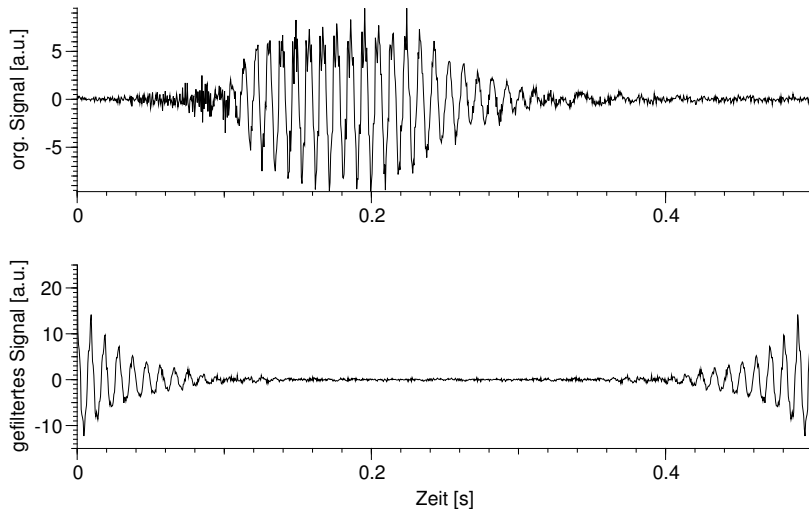
### ► Filterung der Phase - Nachher



# Filtern eines Signals im Frequenzbereich

## Phasen-Filter

- Ergebnis des Filtern (Vorher - Nachher)



# Filtern eines Signals - Ergebnisse

- ▶ Betrag der Fourier-Koeffizienten
  - ▶ entspricht Wichtung der jeweiligen Frequenz
  - ▶ Anwendung diverser Filter
    - ▶ Bandpassfilter
    - ▶ Tiefpassfilter
    - ▶ Hochpassfilter
- ▶ Phase der Fourier-Koeffizienten
  - ▶ enthält "Strukturinformationen"
  - ▶ Unbedachte Manipulation verändert Signal auf mit unter unvorherzusehende Weise

# Diskrete Fourier-Transformation - Anmerkung

- ▶ Problematik:  $N$  Datenpunkte  $x_n$  gehen in die Fourier-Transformation ein
  - Nach Vorschrift scheinbar  $N$  komplexe Fourier-Koeffizienten  $Y_k$
  - ⇒  $2N$  verschiedene reelle Zahlen möglich
- ▶ Realität: nur  $Y_k$  für  $k = 0, \dots, \frac{N-1}{2}$  sind verschieden!  
... und maximal verwertbare Frequenz:  $f_{max} = \frac{N-1}{2} \frac{1}{N\Delta t}$
- ▶ Beweis:

$$Y_k = \frac{1}{N} \sum_{n=0}^{N-1} x_n e^{i\omega nk}$$

$$Y_{N-k} = \frac{1}{N} \sum_{n=0}^{N-1} x_n e^{i\omega n(N-k)} = \frac{1}{N} \sum_{n=0}^{N-1} x_n \underbrace{e^{i\omega nN}}_{=1} e^{-i\omega nk} = \bar{Y}_k$$

$$\text{NR: mit } \omega = \frac{2\pi}{N} \implies e^{i\frac{2\pi}{N}nN} = e^{i2\pi n} = 1$$

# Diskrete Fourier-Transformation - Anmerkung

- ▶ Abtastfrequenz

- ▶ Annahme: bandbegrenztes Signal ( $0 < f \leq f_{max}$ )
- ▶ Ziel: Auflösung von  $f_{max}$
- ▶ Bedingung hinsichtlich der Abtastfrequenz

$$f_{abstast} > 2 f_{max} \quad (6)$$

- ▶ Numerische Laufzeit für

$$Y_k = \frac{1}{N} \sum_{n=0}^{N-1} x_n e^{i\omega n k}$$

- ▶ Es gibt  $N$  (eigentlich nur  $N/2$ ) Fourier-Koeffizienten  $Y_k$ .
- ▶ Je Koeffizient müssen mindestens  $N$  Rechnungen ausgeführt werden.
- ▶ Ordnung der Rechnung beträgt  $N^2$
- ▶ Optimierung z.B. Cooley-Tukey-Algorithmus  $\mathcal{O}(n \log n)$  bzw. Verwendung entsprechender Bibliotheken (z.B. FFTW)

# Diskrete Fourier-Transformation im 2D

- ▶ Mathematische Formulierung der Hintransformation

$$Y_{kl} = \frac{1}{NM} \sum_{n=0}^N \sum_{m=0}^M x_{nm} e^{i\omega_M m l} e^{i\omega_N n k} \quad (7)$$

- ▶ Mathematische Formulierung der Rücktransformation

$$x_{nm} = \sum_{n=0}^N \sum_{m=0}^M Y_{kl} e^{-i\omega_M m l} e^{-i\omega_N n k} \quad (8)$$

mit

$$\omega_N = \frac{2\pi}{M} \quad \omega_M = \frac{2\pi}{N} \quad (9)$$

- ▶ Stichwörter: Ortsraum, Ortsfrequenzraum, ...

# Themenübersicht

- ▶ Diskrete Fourier-Transformation
- ▶ **Kontinuierliche Fourier-Transformation**
- ▶ Faltung
- ▶  $\delta$ -Distribution
- ▶ Anwendung der Fourier-Transformation
- ▶ Anmerkungen / Ergänzungen

# Kontinuierliche Fourier-Transformation

- Grundlage: Gegeben sei eine Funktion  $g(t)$  mit der Bedingung

$$\int_{-\infty}^{\infty} g(t) dt < \infty \quad (10)$$

also

$$\lim_{t \rightarrow \infty} g(t) = 0 \quad \text{und} \quad \lim_{t \rightarrow -\infty} g(t) = 0$$

- Hintransformation (Transformation in den Frequenzbereich)

$$G(\omega) = \frac{1}{2\pi} \int_{-\infty}^{\infty} g(t) e^{i\omega t} dt \quad (11)$$

- Rücktransformation (Transformation in den Zeitbereich)

$$g(t) = \int_{-\infty}^{\infty} G(\omega) e^{-i\omega t} d\omega \quad (12)$$



# Kontinuierliche Fourier-Transformation

## Motivation

- ▶ Ausgangssignal (physikalische Zeitsignal) - Ton oder Licht
- ▶ System reagiert unterschiedlich auf verschiedene Frequenzen
  - ▶ stärkere Dämpfung höherer Frequenzen
  - ▶ z.B. Relaxation von Wassermolekülen (siehe Mikrowelle)
- ▶ Prinzipielle Arbeitsweise in der Physik
  - ▶ Eingangssignal .....  $g(t)$
  - ▶ Spektrum des Eingangssignal .....  $G(\omega)$
  - ▶ Veränderung der einzelnen Frequenzkomponenten durch das Medium
  - ▶ Resultat: Spektrum des Ausgangssignal .....  $\tilde{G}(\omega)$
  - ▶ Zeitsignal des Ausgangs .....  $\tilde{g}(t)$

# Video-Empfehlungen fürs Verständnis

- ▶ 3Blue1Brown

But what is a Fourier series? From heat flow to circle drawings

(<https://www.youtube.com/watch?v=r6sGWTCMz2k>)

- ▶ 3Blue1Brown

But what is the Fourier Transform? A visual introduction.

(<https://www.youtube.com/watch?v=spUNpyF58BY>)

# Themenübersicht

- ▶ Diskrete Fourier-Transformation
- ▶ Kontinuierliche Fourier-Transformation
- ▶ **Faltung**
- ▶  $\delta$ -Distribution
- ▶ Anwendung der Fourier-Transformation
- ▶ Anmerkungen / Ergänzungen

# Faltung

- ▶ Anknüpfungen an Überlegungen zur Fourier-Transformation  
Medien verändern unterschiedliche Frequenzanteile unterschiedlich
- ▶ Eingangssignal

$$g(t) = \int_{-\infty}^{\infty} G(\omega) e^{-i\omega t} d\omega \quad \text{bzw.} \quad G(\omega) = \frac{1}{2\pi} \int_{-\infty}^{\infty} g(t) e^{i\omega t} dt$$

- ▶ Manipulation / Filterung im Frequenzbereich

$$H(\omega) = F(\omega) \cdot G(\omega) \quad (13)$$

mit  $F(\omega)$  als Filterfunktion (Antwort- bzw. Responsefunktion)  
und  $H(\omega)$  als resultierendes Signal im Frequenzbereich

# Faltung

- ▶ **Ziel:** Berechnung des resultierenden Signals  $h(t)$  im Zeitbereich
- ▶ Lösung

$$h(t) = \int_{-\infty}^{\infty} H(\omega) e^{-i\omega t} d\omega = \int_{-\infty}^{\infty} F(\omega) G(\omega) e^{-i\omega t} d\omega$$

$G(\omega)$  bzgl.  $g(t')$  ausdrücken

$$= \int_{-\infty}^{\infty} F(\omega) \left( \frac{1}{2\pi} \int_{-\infty}^{\infty} g(t') e^{i\omega t'} dt' \right) e^{-i\omega t} d\omega$$

Integralsachen vertauschen und neu sortieren

$$= \frac{1}{2\pi} \int_{-\infty}^{\infty} g(t') \left( \int_{-\infty}^{\infty} F(\omega) e^{i\omega t'} e^{-i\omega t} d\omega \right) dt'$$

$$h(t) = \frac{1}{2\pi} \int_{-\infty}^{\infty} g(t') f(t - t') dt' \quad (14)$$

# Faltung

- ▶ Definition der Faltung

$$(f \star g)(t) = \int_{-\infty}^{\infty} g(t') f(t - t') dt' \quad (15)$$

- ▶ Hinweis: Faltungsintegral üblicherweise ohne Faktor  $\frac{1}{2\pi}$
- ▶ Eigenschaften:
  - ▶ Kommutativität:  $f \star g = g \star f$
  - ▶ Assoziativität:  $f \star (g \star h) = (f \star g) \star h$
  - ▶ Distributivität:  $f \star (g + h) = (f \star g) + (f \star h)$
  - ▶ Ableitungsregel:  $D(f \star g) = (Df) \star g = f \star (Dg)$
  - ▶ ...

# Anwendung der Faltung / Filterung

## ► Hintergrund:

	Eingang	System	Ausgang
Zeitbereich	$e(t)$	$(e \star r)(t)$	$a(t) = (e \star r)(t)$
Frequenzbereich	$E(\omega)$	$E(\omega) \cdot R(\omega)$	$A(\omega) = E(\omega) \cdot R(\omega)$

## ► Problem:

Messung von  $a(t)$ , aber  $r(t)$  bzw.  $R(\omega)$  initial unbekannt

## ► Ziel:

Bestimmung von  $e(t)$  zur Verbesserung der Datenqualität

## ► Lösungsidee:

- bekanntes Eingangssignal  $\tilde{e}(t)$  bzw.  $\tilde{E}(\omega)$
- $\implies$  Messung von  $\tilde{a}(t)$  bzw.  $\tilde{A}(\omega)$
- $\implies$  Bestimmung von  $R(\omega) = \tilde{A}(\omega) / \tilde{E}(\omega)$

## ► Abschluss:

Berechnung von  $e(t)$  (unbekanntes Eingangssignal) durch  $a(t)$  (bekanntes / gemessenes Ausgangssignal), da  $E(\omega) = A(\omega) / R(\omega) \implies e(t)$  durch Fourier-Trafo.

# Themenübersicht

- ▶ Diskrete Fourier-Transformation
- ▶ Kontinuierliche Fourier-Transformation
- ▶ Faltung
- ▶  $\delta$ -**Distribution**
- ▶ Anwendung der Fourier-Transformation
- ▶ Anmerkungen / Ergänzungen



# $\delta$ -Distribution

- Definition

$$\delta(t) = \begin{cases} \infty & \text{für } t = 0 \\ 0 & \text{sonst.} \end{cases} \quad \text{und} \quad \int_{-\infty}^{+\infty} \delta(t) dt = 1 \quad (16)$$

- analog

$$\delta(t-t') = \begin{cases} \infty & \text{für } t = t' \\ 0 & \text{sonst.} \end{cases} \quad \text{und} \quad \int_{-\infty}^{+\infty} \delta(t-t') dt = 1$$

- sowie

$$\int_{-\infty}^{+\infty} f(t') \delta(t-t') dt' = f(t) \quad (17)$$

- Anwendung: Punktladung

Beschreibung der Ladungsdichte am Punkt  $\vec{r}$  als  $q \delta(\vec{r})$

Gesamtladung: 
$$\int_{\mathbb{R}^3} q \delta(\vec{r}) dV = q$$

# $\delta$ -Distribution - Rechenbeispiele

- Berechnen Sie:

$$\int_{-\infty}^{+\infty} t^2 \delta(t) dt = \dots$$

$$\int_{-\infty}^{+\infty} (x^2 - 1) \delta(x - 2) dx = \dots$$

$$\int_{-\infty}^{+\infty} \sin(u) \delta(u - \pi) du = \dots$$

$$\int_{-\infty}^{+\infty} x^{10} \delta(x + 2) dx = \dots$$

# Interpretation der Faltung mit Hilfe der $\delta$ -Distribution

- ▶ Annahmen

- ▶  $g(t)$  ist Eingangssignal mit  $G(\omega)$
- ▶  $f(t)$  ist Antwortfunktion mit  $F(\omega)$
- ▶  $h(t)$  ist Ergebnisfunktion mit  $H(\omega) = G(\omega) \cdot F(\omega)$

- ▶ Beispiel 1:

$$g(t) = \delta(t)$$

$$f(t) = \begin{cases} 0 & \text{für } t < 0 \\ Ae^{-\alpha t} & \text{für } t \geq 0 \end{cases}$$

$$h(t) = (g \star f)(t) = \int_{-\infty}^{+\infty} \delta(t - t') f(t') dt = f(t)$$

- ▶ Beispiel 2:

$$g(t) = \sum_i \alpha_i \delta(t - t_i) \quad \Longrightarrow \quad h(t) = \sum_i \alpha_i f(t - t_i)$$

# Themenübersicht

- ▶ Diskrete Fourier-Transformation
- ▶ Kontinuierliche Fourier-Transformation
- ▶ Faltung
- ▶  $\delta$ -Distribution
- ▶ **Anwendung der Fourier-Transformation**
- ▶ Anmerkungen / Ergänzungen

# Diffusionsgleichung (Wärmeleitungsgleichung)

## ► Formulierung

$$\frac{\partial}{\partial t} c(x, t) - D \frac{\partial^2}{\partial x^2} c(x, t) = \left( \frac{\partial}{\partial t} - D \frac{\partial^2}{\partial x^2} \right) c(x, t) = 0 \quad (18)$$

mit  $c(x, t)$  als Konzentrationsverteilung in Abhängigkeit vom Ort  $x$  und der Zeit  $t$   
sowie  $D$  für die Diffusionskonstante

## ► Ansatz

$$c(x, t) = \int_{-\infty}^{+\infty} \int_{-\infty}^{+\infty} C(k, \omega) e^{-ikx} e^{-i\omega t} dk d\omega \quad (19)$$

$$\begin{aligned} 0 &= \left( \frac{\partial}{\partial t} - D \frac{\partial^2}{\partial x^2} \right) c(x, t) \\ &= \left( \frac{\partial}{\partial t} - D \frac{\partial^2}{\partial x^2} \right) \int_{-\infty}^{+\infty} \int_{-\infty}^{+\infty} C(k, \omega) e^{-ikx} e^{-i\omega t} dk d\omega \end{aligned}$$

# Diffusionsgleichung (Wärmeleitungsgleichung)

► ... und weiter geht es ...

$$\begin{aligned} 0 &= \left( \frac{\partial}{\partial t} - D \frac{\partial^2}{\partial x^2} \right) c(x, t) \\ &= \left( \frac{\partial}{\partial t} - D \frac{\partial^2}{\partial x^2} \right) \int_{-\infty}^{+\infty} \int_{-\infty}^{+\infty} C(k, \omega) e^{-ikx} e^{-i\omega t} dk d\omega \\ &= \int_{-\infty}^{+\infty} \int_{-\infty}^{+\infty} C(k, \omega) \left( \frac{\partial}{\partial t} - D \frac{\partial^2}{\partial x^2} \right) e^{-ikx} e^{-i\omega t} dk d\omega \\ &= \int_{-\infty}^{+\infty} \int_{-\infty}^{+\infty} C(k, \omega) (-i\omega + k^2 D) e^{-ikx} e^{-i\omega t} dk d\omega \end{aligned}$$

$$\implies C(k, \omega)(-i\omega + k^2 D) = 0$$

$$\implies C(k, \omega) = C(k, \omega_0) \delta(\omega - \omega_0) \quad \text{mit} \quad \omega_0 = -ik^2 D$$

# Diffusionsgleichung (Wärmeleitungsgleichung)

- Damit ergibt sich die Lösung zu:

$$\begin{aligned}c(x, t) &= \int_{-\infty}^{+\infty} \int_{-\infty}^{+\infty} C(k, \omega_0) \delta(\omega - \omega_0) e^{-ikx} e^{-i\omega t} dk d\omega \\&= \int_{-\infty}^{+\infty} C(k, \omega_0) e^{-ikx} e^{-i\omega_0 t} dk \\&= \int_{-\infty}^{+\infty} C(k, \omega_0) e^{-ikx} e^{-i(-ik^2 D)t} dk \\&= \int_{-\infty}^{+\infty} C(k, \omega_0) e^{-ikx} e^{-k^2 Dt} dk\end{aligned}$$

$$c(x, t) = \int_{-\infty}^{+\infty} \left( C(k, \omega_0) e^{-k^2 Dt} \right) e^{-ikx} dk$$

# Diffusionsgleichung (Wärmeleitungsgleichung)

Vorgehen zur Berechnung von  $c(x, t)$

- ▶ Ansatz einer Anfangsverteilung  $c(x, 0)$
- ▶ Berechnung der Koeffizienten  $C(k, \omega_0)$  aus  $c(x, 0)$

$$C(k, \omega_0) = \frac{1}{2\pi} \int_{-\infty}^{+\infty} c(x, 0) e^{ikx} dx$$

- ▶ Berechnung der Werte  $g(k, t) = C(k, \omega_0) e^{-k^2 Dt}$
- ▶ Lösungsberechnung durch

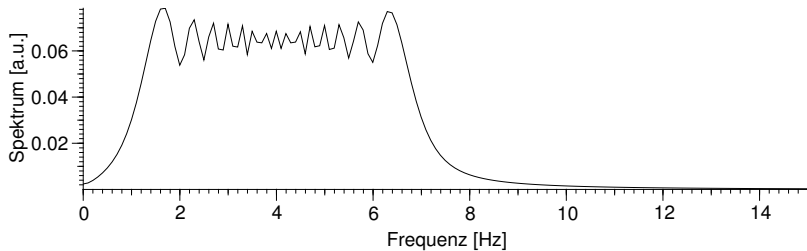
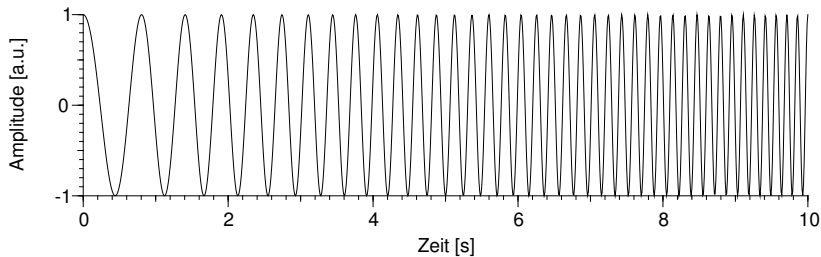
$$c(x, t) = \int_{-\infty}^{+\infty} g(k, t) e^{-ikx} dk$$



# Themenübersicht

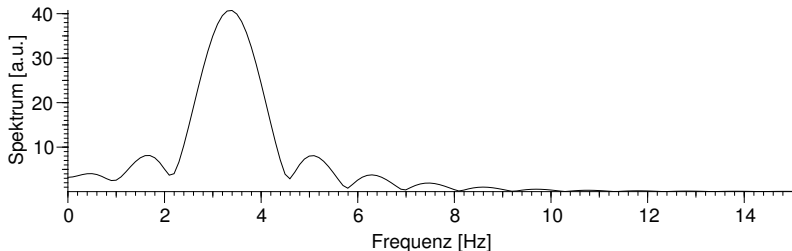
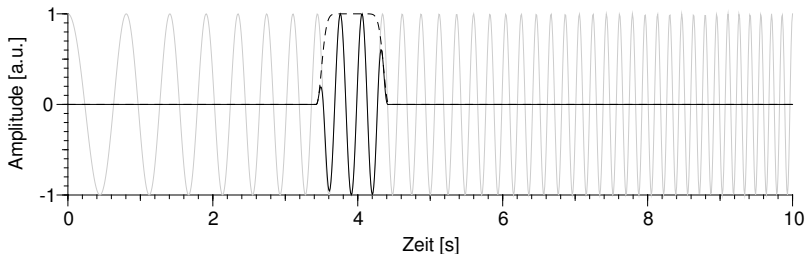
- ▶ Diskrete Fourier-Transformation
- ▶ Kontinuierliche Fourier-Transformation
- ▶ Faltung
- ▶  $\delta$ -Distribution
- ▶ Anwendung der Fourier-Transformation
- ▶ **Anmerkungen / Ergänzungen**

# Problem: Chirp-Funktion



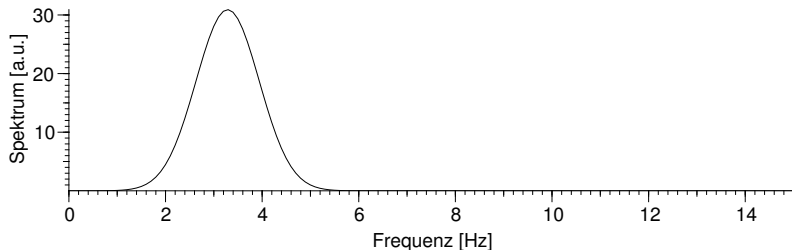
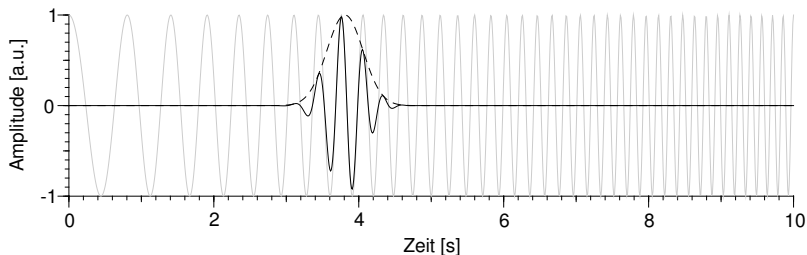
# Gefensterete-FourierTransformation der Chirp-Funktion

- Einzel-Fenster-Auswertung mit spezieller Fensterfunktion



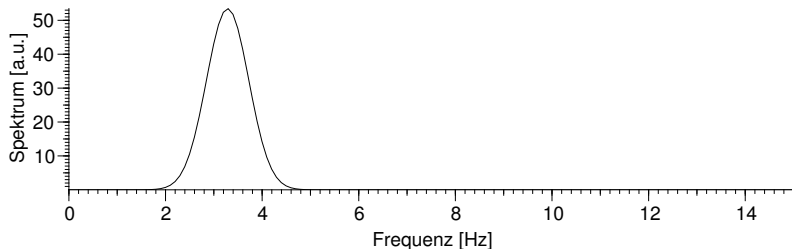
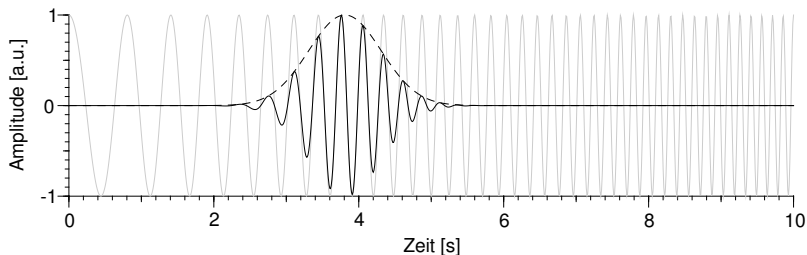
# Gabor-Transformation der Chirp-Funktion

- Einzel-Fenster-Auswertung bei  $\sigma = 0,25\text{s}$



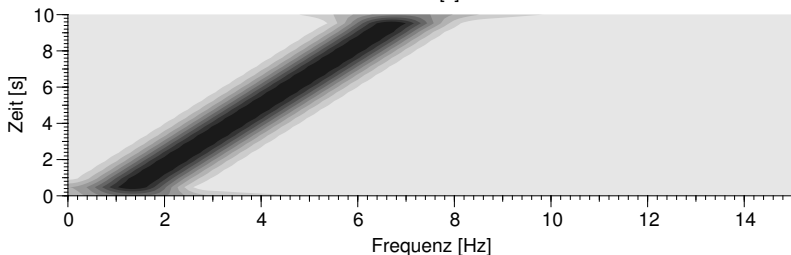
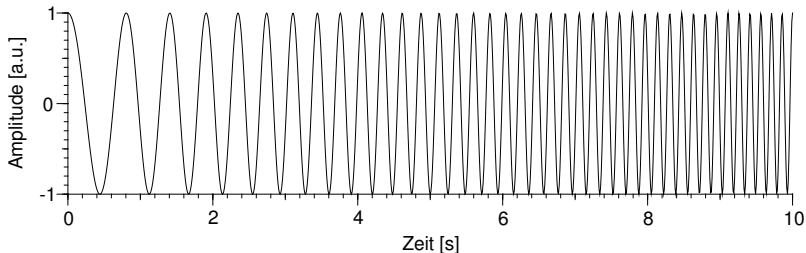
# Gabor-Transformation der Chirp-Funktion

- Einzel-Fenster-Auswertung bei  $\sigma = 0,5\text{s}$



# Gabor-Transformation der Chirp-Funktion

- Spektrogramm bei  $\sigma = 0,25\text{s}$



# Gabor-Transformation der Chirp-Funktion

- Spektrogramm bei  $\sigma = 0,5\text{s}$

